

飛島建設㈱ 高嶋 衛 長谷川 昌弘 村上 清基  
 鈴木 健 ○ 小野 洋  
 西武建設㈱ 西川 泰弘

### 1. はじめに

近年、掘削・土留め工事における支保工としては一般に鋼製切梁工法が用いられている。また、大規模土留め構造物の設計においては、弾塑性法を用いて設計を行なうことが多い。そのため、土留め弾塑性解析のパラメータの1つである切梁バネ定数を適切に設定することは、安全かつ経済的な設計・施工を行なうにあたり重要な要因となっている。本報告は、切梁バネ定数を現場計測(プレロード導入時)より求めるとともに、一般に設計で用いられる方法により求められる切梁バネ定数と比較検討したものである。

### 2. 現場概要

今回、計測を行なった現場の掘削規模は、沈砂池ポンプ棟部約85x40m、流入渠部約34x12m、掘削深さは22.7~27.6m(約3.4mの盤下げを含む)である(図-1参照)。土留め架構としては鉄骨式ソイルモルタル地中壁(厚さ1.0m、長さ49m)および鋼製切梁工法(5~7段切梁、長辺約85m、短辺約40m)であり、土留め壁変形の抑止および壁応力の低減のため、切梁プレロード工法(油圧ジャッキによる)も採用された。また、切梁はH-400のトリプルを採用したところもあり、長さおよび断面ともに長大なものであった。

### 3. 測定方法(切梁バネ定数の求め方)

切梁プレロード導入時、油圧ジャッキは加圧されピストンのストロークが伸びるため、土留め壁は背面側に押し込まれるとともに、油圧ジャッキ部を除いた切梁部は圧縮され軸力が生じる。この時切梁に生じた軸力(以後、切梁軸力Pと呼ぶ)を、切梁の縮んだ量(以後、切梁圧縮量δと呼ぶ)で除したものを切梁バネ定数( $K = P / \delta$ )とした。

切梁バネ定数の測定は、図-1に示すE-H点およびB-F点間に架設された切梁について行なった。切梁プレロードは、目標導入量に対して、数段階に分けて導入した。切梁軸力(P)は、各点近傍に設置(土留め壁より8mの位置)された切梁軸力計(ひずみ計)

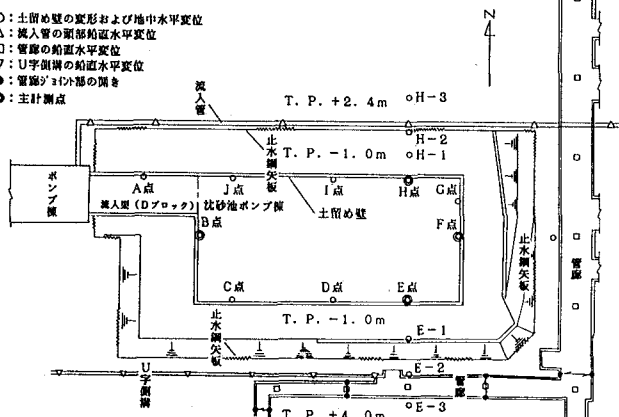


図-1 現場平面図

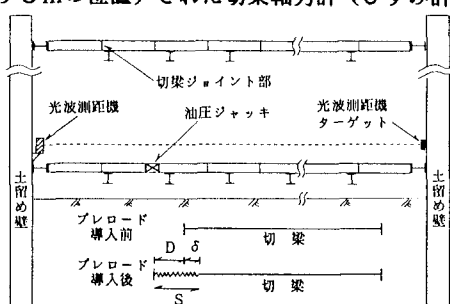


図-2 測定方法概略図

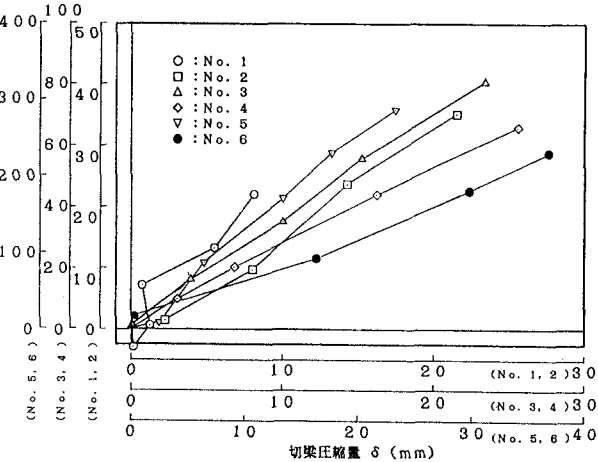


図-3 切梁軸力と切梁圧縮量の関係

より求め ( $P = \varepsilon * E * A$ ;  $E$ : 切梁のヤング率,  $A$ : 断面積,  $\varepsilon$ : ひずみ)、切梁圧縮量 ( $\delta$ ) は以下に述べるようにして求めた。図-2に示すように

- ①切梁が架せられている片側の土留め壁に光波測距機を、正対する土留め壁に光波測距機のターゲットを設置し、切梁プレロード導入時の各段階における土留め壁間の距離増加量 ( $D$ ) を測定する。なお、光波測距機による測定は各段階において10回行い、その平均値を  $D$  としている。
- ②油圧ジャッキ部にダイヤルゲージ (1/100mm目盛り) を設置し、プレロード導入時の各段階におけるジャッキストロークの伸び ( $S$ ) を測定する。
- ③ジャッキストロークの伸び ( $S$ ) と土留め壁間の距離増加量 ( $D$ ) との差を切梁圧縮量 ( $\delta$ ) とする。

#### 4. 測定結果および考察

表-1に測定結果を、図-3に切梁軸力と切梁圧縮量との関係を示す。表-1においてバネ値1はプレロード荷重0tfを原点として求められた切梁バネ定数、バネ値2は各段階での切梁軸力と切梁圧縮量の差分より求めたものである。また、設計バネ値  $K_d$  はフックの法則が成り立ち、軸方向に一様に圧縮応力が分布しているものと仮定し、 $K_d = E * A / L$  ( $E$ : 切梁のヤング率,  $A$ : 断面積,  $L$ : 切梁長さ) より求めた。なお、No.5,6の切梁はトリブルとダブルであり、軸力を合計することにより1組のものとして考えている。

切梁プレロード導入時の切梁バネ定数測定結果について以下のような傾向が認められる。  
 ①加圧初期段階（加圧20tf程度まで）では、測定された切梁バネ定数にバラツキがある。

②当然ではあるが、切梁長さが同じであれば、断面積が大きいものほど切梁バネ定数が大きく、断面積が同じであれば、切梁長さが短い方が切梁バネ定数は大きい。

③加圧荷重が50tf程度になると、切梁バネ定数は初期段階に比べ安定している。

④測定より得られた切梁バネ定数は、設計バネ値よりかなり小さい。最終段階におけるバネ値2では、設計バネ値の30%～70%である。

初期加圧段階の切梁バネ定数のバラツキについては、腹起しと土留め壁とのなじみや切梁ジョイント部でのなじみ、あるいは、交差する切梁との摩擦等により荷重が切梁全体に伝達されにくくことによる影響が大きいと思われる。また、測定された切梁バネ定数が設計バネ値より小さいのは、切梁ジョイント部や油圧ジャッキ部における偏心および切梁エンドプレート部の平坦性の精度による応力集中等により、設計バネ値を求める際の「軸方向に一様に圧縮応力が分布している」という仮定が当てはまらないためであろう。

#### 5. おわりに

今回の計測によると鋼製切梁のバネ定数は、一般に設計で設定される切梁バネ定数 ( $K = 2 * (A * E) / (L * B)$ ;  $B$ : 分担幅) よりかなり小さい結果が得られた。今後、他の現場でもさらに計測等に工夫を重ねデータを蓄積し検討して行きたい。

#### 【参考文献】

- 1) 長谷川・村上・小野他; 軟弱地盤における土留め計測管理の実施例 (その1)、第24回土質工学研究発表会、1989.

表-1 測定結果一覧表

切梁 条件	プレート 荷重(tf)	切梁軸力 $P$ (tf)	ストローク $S$ (mm)	距離増加 $D$ (mm)	切梁圧縮 $\delta$ (mm)	バネ値1 $K_1$ (tf/m)	バネ値2 $K_2$ (tf/m)	設計バネ値 $K_d$ (tf/m)
No.1 H-350 *350 L=39.8	0	0.0	0.0	0.0	0.0	-37000	-37000	9220 (36X)
	100	-3.7	0.40	0.30	0.10	744	4144	
	200	0.9	2.51	1.30	1.21	10000	-12857	
	300	7.2	5.42	4.70	0.72	2454	1308	
	400	10.4	8.08	2.60	5.46	2728	3298	
	500	22.1	11.40	3.30	8.10			
No.2 H-350 *350 L=83.1	0	0.0	0.0	0.0	0.0	670	670	4390 (37X)
	100	1.5	2.54	0.30	2.24	1225	1441	
	200	9.8	8.90	0.90	8.00	1668	2231	
	300	23.7	16.63	2.40	14.23	1866	1607	
	400	35.3	24.73	3.30	21.45	1846		
No.3 H-400 *400 L=39.8	0	0.0	0.0	0.0	0.0	150000	150000	11800 (27X)
	100	1.5	0.01	0.00	0.01	5402	4918	
	200	16.1	3.98	1.00	2.98	3492	2690	
	300	55.2	11.88	1.80	10.08	3657	3981	
	400	55.7	17.73	2.50	15.23	3468	3106	
	500	80.8	26.71	3.40	23.31			
No.4 H-400 *400 L=83.1	0	0.0	0.0	0.0	0.0	3300	3300	5530 (43X)
	100	10.0	3.33	0.30	3.03	2038	2815	
	200	20.5	7.76	1.00	9.78	2725	2505	
	300	44.2	18.52	2.30	18.22	2558	2378	
	400	66.2	28.68	3.20	25.48			
No.5 3H-400 *400 L=83.1	0	0.0	0.0	0.0	0.0	3656	3656	34790 (52X)
	100	8.7	1.88	-0.50	2.38	13713	19853	
	200	87.8	7.31	0.90	6.41	13049	12427	
	300	172.9	16.05	2.80	13.25	13238	13830	
	400	231.4	21.58	4.10	17.48	14017	18538	
	500	286.7	26.79	6.30	20.48			
No.6 2H-400 *400 L=83.1	0	0.0	0.0	0.0	0.0	95283	95283	11050 (70X)
	100	18.1	0.38	0.20	0.19	5778	4717	
	200	93.8	20.04	3.80	18.24	6017	6297	
	300	181.9	39.83	9.60	30.23	6330	7790	
	400	232.3	48.45	11.75	36.70			

バネ値は、切梁1本あるいは1組当たりの値である

( )内の値は、設計バネ値に対するプレロード最終段階におけるバネ値2の割合である